

N-1 貯留方程式の 2 3 の問題について

九州大学 工 正員 篠原謹爾 正員 地田茂・
正員 北島崇雄 学生員 高崎英郎

要旨 流出解析、或いは洪水追跡手法の基礎式として、貯留方程式が多く用いられる。貯留方程式には数多くの実験・経験式が提案されているが、本報ではその代表的な例として、

$S = KQ$	ここで S storage volume
$S = KQ^P$	Q run-off
$S = K_1 Q^P + K_2 \frac{dQ}{dt}$	K, P numerical constant

の3式を羅び、これらを筑後川流域に適用する事に依って、そのnumerical constantの決定法、及び適応性について2,3の問題点を示した。

I 始めに

対象とした流域は、筑後川水系大山川小平畠水標地表上流域であつて、流域に関する諸値は次の通りである。

流域面積	533.7 Km ²	本川長	3.8 Km
流域平均勾配	0.057	本川平均河道勾配	0.015

資料としては、昭和35～40年に生起した11洪水記録を使用した。hydrographの立ち上がりと、勾配急変点を直結する事に依って、直接流出と基底流出の2成分に分離し、直接流出の对立算定の対象とした。又、有効雨量は、上記洪水記録より総雨量と総損失雨量の関係を調べ、次の称名累加損失雨量の式を定め、これにより抽出した。

$$R_L = R(1 - 0.26 R^{0.1}) \quad \text{ここで, } R \text{ 累加雨量 (mm)} \\ R_L \text{ 累加損失雨量 (mm)}$$

II 線型貯留方程式

R. E. HORTON によれば、流域の貯留方程式は $S = KQ$ の線型で充分だと言う。常数Kを決定する方法として、次の3手法を試めた。

(1) 洪水減水部 降雨流入終了後の減水曲線は、よく知られている様に次式で表わされる

$$Q = Q_0 \exp(-\frac{t}{K}) \quad \text{ここで, } Q_0 \text{ 初期流量 (t=0)} \\ t \text{ 時間}$$

(2) NASH の moment 法¹⁾ J E NASH は彼の流出曲線の parameter である、貯水池の個数nと、Kを決める方法として、moment による手法を提案した。

$$nK = \int_0^\infty Q(t)t dt / \int_0^\infty Q(t)dt - \int_0^\infty R_i(t)t dt / \int_0^\infty R_i(t)dt \\ n(n+1)K^2 = \int_0^\infty Q(t)t^2 dt / \int_0^\infty Q(t)dt - \int_0^\infty R_i(t)t^2 dt / \int_0^\infty R_i(t)dt - 2nK \int_0^\infty R_i(t)t dt / \int_0^\infty R_i(t)dt$$

(3) NASH の経験式²⁾ NASH は彼の方法を (ここで, R_L 有効雨量)

実際の流域に数多く適用する事に依って、Kは次の式で充分に近似できるとしている。

$$K = 14 A^{0.3} S^{-0.3} L^{-0.1} \quad \text{ここで, } A \text{ 流域面積 (km}^2\text{)} \\ S \text{ 流域平均勾配 } \times 10^4 \\ L : \text{ 本川長 (km)}$$

以上3法に依る計算の結果は表の1に示されてい。午法(1)は、立神博士の流出解析法等にも使用されるかなり広用範囲の広いもので、流域特性を示す一つの指標と言われる。篠原 上田博士が、昭和20年代の洪水記録を用いての値³⁾に依れば、 $K =$

714となつてあり、表-1の値(午法(1))に較べて少し小さく、近年の方が貯留量は増加している様である。流量の peak に対する時間降雨とそれからの peak 流量到達時間の相関を、篠原 上田博士のそれ³⁾と比較してみると、peak 到達時間は遅目に出現しており、やはり前述した事実を裏づけているようだ。標準偏差はすこし大きいが、複雑な流域及び降雨を考慮すれば、この程度は止むを得ないだろう。午法(2)は、hydrograph と hyetograph の幾何学的性質を利用して興味深いものである。経験的事実より、線型貯水池の数 $n > 1$, $K > 0$ とななければならぬ。しかるに本法に依る計算結果を調べると、この条件を満足しない例がかなり多く見られた。式を検討してみると、几及び K の決定には直接流出時間が大きく支配しており、直接流出終了時刻の決定が問題となる。又、有効雨量の抽出方法も大なる影響を与える。この午法(2)を我が国の様な複雑な流域、降雨特性を示す河川に適用するに当つては、研究者及び技術者の主觀が入り易い点である。しかも著者等がこの方法で筑後川に適用した結果、その適合度は非常に悪かつた。

III 非線型貯留方程式

(1) $S = K Q^P$ 本式の parameter を決定する午法として、洪水減水曲線の使用、及び最も重要な peak 流量付近の $S \sim Q$ 相関を用いる事にした。

$$\left\{ \begin{array}{l} S = K Q^P \quad (P \neq 1) \\ \frac{dS}{dt} = I - Q \quad (\text{水理方程式}) \end{array} \right. \quad (1)$$

$$(1), (2) \text{ 式より } \frac{dQ}{dt} = \frac{1}{PK} Q^{1-P} - \frac{1}{PK} Q^{2-P} \quad (3)$$

$I = 0$ の時、(3)式は、

$$\frac{dQ}{dt} + \frac{1}{PK} Q^{2-P} = 0 \quad (4)$$

(4)式の解は、

$$Q = \left(\frac{1-P}{PK} t + C \right)^{\frac{1}{1-P}} \quad (5)$$

今 $t=0$ 时 $Q=Q_0$ とすれば

$$C = Q_0^{-(1-P)}$$

$$\text{故に } Q = \left(\frac{1-P}{PK} t + Q_0^{-(1-P)} \right)^{-\frac{1}{1-P}} \quad (6)$$

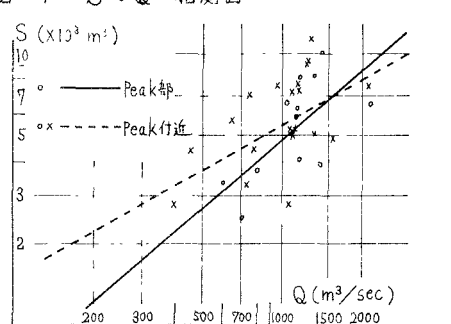
(6)式を用いて計算した結果、ほとんどの洪水記録において、 P はほぼ 1 に近い値をとり、洪水減水部に関する限り、実用的には $S = K Q$ の線型であり扱ってさしつかえないと考えられる。次に、資料より peak 付近の貯留量 S と流量 Q を抽出し、最小自乗法を用いて K , P を算出した結果が、表-2 に示してある。但し、peak 部とは、各洪水の peak 流量時だけを使用、peak 付近とは、peak

表-2 K , P の算定値

	Peak 部	Peak 付近
K	1.3 8	1.1 4
P	0.849	0.561
$S \sim Q$ 相関係数	0.627	0.438

より peak 付近の貯留量 S と流量 Q を抽出し、最小自乗法を用いて K , P を算出した結果が、表-2 に示してある。但し、peak 部とは、各洪水の peak 流量時だけを使用、peak 付近とは、peak

図-1 $S \sim Q$ 相関図



流量時前後5時間の比較的単純な hydrograph の記録を用いたものである。相関係数を調べてみると非常に悪く、特に peakK 附近は相関を認める事が困難である。(図-1 参照) この式形の特徴は、わずかの資料の取捨で parameter K, P が大きく変動することで、特に K の値に著しく現われ、研究者及び技術者は資料の整備に多大の注意を払わねばならない。

(ii) $S = K_1 Q^P + K_2 \frac{dQ}{dt}^{4/3}$ (PRASADの式) この式の parameter を決定する際問題となる点は右辺第2項の $\frac{dQ}{dt}$ の取り扱い方である。そこで本法を適用するに当って、hydrograph の微小区間は近似的に二次放物線とみなしてさしつかえない、と仮定する。単位を hour とするは、

$$\frac{dQ}{dt}|_{t=t_0} = \frac{1}{2} (Q_{t_0+1} - Q_{t_0-1})$$

で表わされ、以降の算定にはこの式を使用した。parameter を求める手順は、peak 流量時ににおける $\frac{dQ}{dt} = 0$ の性質を利用して、peak 流量時の資料のみで得た前節の値を用いて K_1, P を決定する。次に、 $S, Q, \frac{dQ}{dt}$ の資料を原式に投入して、 K_2 を算出し 表-3 PRASAD の貯留方程式 平均により求めた。実際の $S \sim Q$ を plot すると、一般にルーブ形形状を示すが、この式は増水時と減水時における貯留量の相違が考慮されており、最も近似させ易い方法であろう。

IV 考察

各手法の問題点は前述した通りであり、本節では筑後川流域における貯留方程式の総合的な適合度を調べてみる。一般に hydrograph が複雑になればなる程、 $S \sim Q$ 関係の相関性も認め難くなってきて、上述の式を適用する際には非常な困難性が生じる。我が国で最も広く使用される $S = K Q^P$ は、比較的単純な洪水毎に K, P を定めるのは可能であるが、図-2 にも見られるごとく、多くの洪水記録を使用して $S \sim Q$ 関係を表わしてみると、大きなばらつきを示しており、筑後川の流域特性をこの parameter K, P に反映させるには、常に大きな危険が伴っている事がわかる。実用的にこの程度の相間で充分の場合には、曲線近似よりも教科の直線を接合した近似の方が計算には簡易と思われる。図-3 には、PRASAD の式を用いた適用例が示してあるが、この式は前述の諸式に較べて、かなりの精度を示している。式形も比較的簡単であるが、適用する際、 $\frac{dQ}{dt}$ の取り扱い方が問題となろう。矢印の方向は時間の経過を表す。

図-2 各貯留方程式の比較

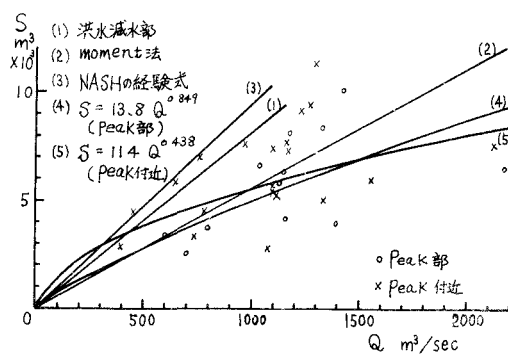
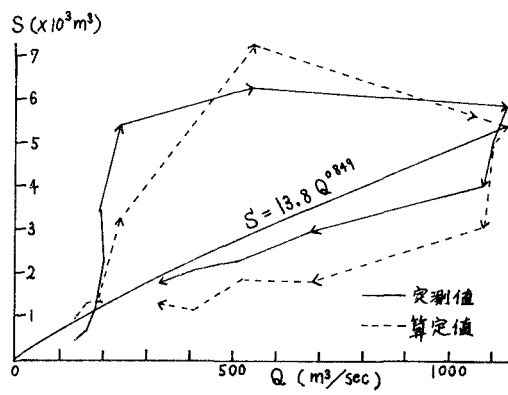


図-3 PRASAD の式の適用例



V 終りに

最近では、貯留方程式の精度を上げるため、増す増す複雑化する傾向が見られる。特に米国において研究されており、論文も多いのであるが、しかしながら高度な非線型の性質を内包しているものは、実際の応用に供するに非常に困難さが存在し、実用的な解法を発展させねばならぬ。本来、貯留方程式の大多数が実験経験式であって、物理的根拠の乏しい system approach である。将来の課題としては、流域の物理的性格をなお一層くわしく把握することに依って、その physical law を system に綿密に組み込んでいくことであろう。終りに、本報に用いた計算機は、九州大学大型計算機センター FACOM 230-60 である。

参考文献

- 1) J.E.NASH *The form of the instantaneous unit hydrograph*
C R et Rapports. Assn Internat.
Hydrol IUGG Tronto. 1957
- 2) J.E.NASH River engineering and water conservation works
chap. 6, London, Butterworth, 1966
- 3) 篠原 上田 篠原上田部の出水解析 第1報
九州大学応力研究所報 第12号別刷 昭和33年
- 4) R PRASAD Nonlinear simulation of a regional
hydrologic system
Ph. D. Thesis, University of Illinois, 1965